

อิทธิพลของสารชุมพิวต์การถ่าย เทือกชิ เจนในฉังกวัน



นายสมพร สมเจริญศิลป์

007524

วิทยานิพนธ์นี้ เป็นส่วนหนึ่งของการศึกษาตามหลักสูตรบริณญาณวิทยาศาสตร์มหาบัณฑิต

ภาควิชาเคมีเทคนิค

บัณฑิตวิทยาลัย จุฬาลงกรณ์มหาวิทยาลัย

พ.ศ. 2525

ISBN 974-561-595-1

{ 17740824 }

EFFECTS OF SURFACTANTS ON OXYGEN TRANSFER IN STIRRED TANK

Mr. SOMPORN SOMCHAROENSILP

A Thesis Submitted in Partial Fulfillment of the Requirements

for the Degree of Master of Science

Department of Chemical Technology

Graduate School

Chulalongkorn University

1982

กิติกรรมประจำ

ผู้เขียนขอขอบพระคุณ ท่านอาจารย์ เลอสรวง เมฆสูต และท่านอาจารย์ เพียรพรรค หัศคร
ที่ได้ให้คำแนะนำช่วยเหลือทางด้านวิชาการเป็นอย่างดี และให้ความสำคัญในการใช้สถานที่ทำงานของ
ภาควิชาเคมีเทคนิค จนทำให้การศึกษาวิจัยสำเร็จลงด้วยดี

ผู้เขียนขอขอบคุณ ท่านอาจารย์ เจ้าหน้าที่ ตลอดจนเพื่อน ๆ น้อง ๆ ที่ได้ช่วยเหลือ ทำให้
งานวิจัยผ่านพ้นอุปสรรคและสำเร็จลงด้วยดี。

หัวข้อวิทยานิพนธ์ อิทธิพลของสารชوبผิวต่อการถ่าย เทอกอกซีเจนในถังกวน
 โดย นายสมพร สنم เจริญศิลป์
 ภาควิชา เคมี เทคโนโลยี
 อาจารย์ที่ปรึกษา ผู้ช่วยศาสตราจารย์ ดร. เลอสร้าง เมฆสุค
 อาจารย์ ดร. เพียรพรรค ทัศศร

บัณฑิตวิทยาลัย จุฬาลงกรณ์มหาวิทยาลัย อนุมัติให้นับวิทยานิพนธ์ฉบับนี้ เป็นส่วนหนึ่งของการ
 ศึกษาตามหลักสูตรปริญญามหาบัณฑิต

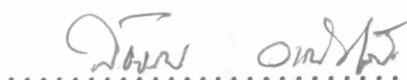

 คณบดีบัณฑิตวิทยาลัย
 (รองศาสตราจารย์ ดร. สุบรรดิษฐ์ บุนนาค)

คณะกรรมการสอบวิทยานิพนธ์


 ประธานกรรมการ
 (รองศาสตราจารย์ ดร. ชัยยุทธ อัญพิทยากุล)


 กรรมการ
 (ผู้ช่วยศาสตราจารย์ ดร. เลอสร้าง เมฆสุค)


 กรรมการ
 (อาจารย์ ดร. เพียรพรรค ทัศศร)


 กรรมการ
 (ผู้ช่วยศาสตราจารย์ ดร. สุธรรม วาณิชเสน)

หัวข้อวิทยานิพนธ์ อิทธิพลของสารชุมผิวต่อการถ่ายเทออกซีเจนในถังกวน
 ชื่อนิสิต นายสมพร สม เจริญศิลป์
 อาจารย์ที่ปรึกษา ผู้ช่วยศาสตราจารย์ ดร. เลอสรวง เมฆสุค
 อาจารย์ ดร. เพียรพารุค ทัศคร
 ภาควิชา เคมี เทคนิค
 ปีการศึกษา 2525

บทคัดย่อ

งานวิจัยนี้ได้ศึกษาผลของสารชุมผิวต่อการถ่ายเทมวลออกซีเจนในถังกวนขนาดประมาณ 5 ลิตร สารชุมผิวที่ใช้ในการทดลองคือ Cetylpyridinium chloride โดยแปรค่าความเบี้ยบแน่นอยู่ในช่วง 0-200 ส่วนในล้านส่วน ความเร็วตอบของใบพัดกวน 13.33-23.33 รอบต่อวินาที และอัตราการไหลของอากาศเข้าสู่ถังกวน $7.33 \times 10^{-5} - 32.67 \times 10^{-5}$ ลบ.ม.ต่อวินาที สัมประสิทธิ์การถ่ายเทมวลรวมต่อหน่วยปริมาตรแสดงได้ในรูปสมการดังนี้

$$K_L A = \left\{ 4.73 \times 10^{-2} - 0.30 \Delta \phi \right\} (P/V)^{0.46} V_S^{0.62}$$

นอกจากนี้ได้แสดงผลการวิเคราะห์ในรูปความต้านทานการถ่ายเทมวล เนื่องจากสารชุมผิวซึ่งสัมพันธ์กับค่า $\Delta \phi$, N_{Re} , N_{Ae} ดังสมการต่อไปนี้

$$\frac{1}{K_S} = \left[\frac{(2.84 - 3.22 \times 10^{-5} N_{Re}) \exp(-16.15 + 4.93 \times 10^{-4} N_{Re}) N_{Ae}}{9.77 \times 10^{-4} \exp(-2.17 \times 10^{-5} N_{Ae}) + (3.64 \times 10^{-3} + 1.44 \times 10^{-7} N_{Re}) N_{Ae}} \right] \left(\frac{\Delta \phi}{\phi} \right)^{0.95}$$

Thesis Title Effects of Surfactants on Oxygen Transfer in Stirred Tank

Name Mr. Somporn Somcharoensilp

Thesis Advisor Lursuang Mekasut, Dr. Ing

Pienpak Tasakorn, Ph.D.

Department Chemical Technology

Academic Year 1982

ABSTRACT

Effects of surfactant on oxygen transfer rate have been studied in an agitated 5-litre tank. The surfactant was cetylpyridinium chloride, its concentration was varied from 0 to 200 ppm. The agitator was operated at 13.33 to 23.33 rps, and air flow rate 7.33×10^{-5} to 32.67×10^{-5} cubic meter per second. The overall volumetric mass transfer coefficient can be described by the following expression :

$$K_L A = (4.33 \times 10^{-2} - 0.30 \Delta \phi) \left(\frac{P}{V} \right)^{0.46} V_S^{0.62}$$

Effects of the surfactant is summarised in terms of the resistance of mass transfer which can be related to $\Delta \phi$, N_{Re} , N_{Ae} by the following expression.

$$\frac{1}{K_S} = \left[\frac{(2.84 - 3.22 \times 10^{-5} N_{Re}) \exp \left\{ (-16.15 + 4.93 \times 10^{-4} N_{Re}) N_{Ae} \right\}}{9.77 \times 10^{-4} \exp (-2.17 \times 10^{-5} N_{Ae}) + (3.64 \times 10^{-3} + 1.44 \times 10^{-7} N_{Re}) N_{Ae}} \right] \left(\frac{\Delta \phi}{\phi} \right)^{0.95}$$

สารบัญ

หน้า

บทคัดย่อภาษาไทย ง

บทคัดย่อภาษาอังกฤษ ฉ

กิติกรรมประกาศ ฉ

รายการตารางประกอบ ญ

รายการรูปประกอบ ญ

บทที่

1 บทนำ 1

2 ทฤษฎีและผลงานวิจัยในอดีต 3

 2.1 การกระจายของฟองก๊าซในถังกวน 3

 2.1.1 การเกิดฟอง 3

 2.1.2 กลไกการกระจายของฟองก๊าซในของเหลว 3

 2.2 การใช้ถังกวน เป็นเครื่องมือในการดูดซึมก๊าซ 6

 2.2.1 ลักษณะของถังกวน 6

 2.2.2 กำลังที่ใช้ในการกวน 8

 2.2.3 ความเร็วของใบพัดกวน 12

 2.2.4 ขนาดของฟองและสัดส่วนก๊าซค้าง 14

 2.2.5 พื้นที่ผิวสัมผัส 15

 2.3 การถ่ายเทmv ในถังกวน 16

 2.3.1 การถ่ายเทmv ในเพลตต์เน็ง 16

 2.3.2 การถ่ายเทmv ในเฟสกระจาย 16



บทที่		หน้า
2.4	สารชอบผิวและผลของสารชอบผิวต่อการถ่ายเทนวาล	18
2.4.1	ลักษณะของสารชอบผิว	18
2.4.2	ชนิดของสารชอบผิว	20
2.4.3	การเกิดขึ้นโนร่องรอยของสารชอบผิว	20
2.4.4	ลักษณะโครงสร้างของขึ้นโนร่องรอยสารชอบผิว	22
2.4.5	คุณสมบัติของขึ้นโนร่องรอยสารชอบผิว	23
2.4.6	การถ่ายเทนวาลผ่านขึ้นโนร่องรอยสารชอบผิว	24
3	เครื่องมือและวิธีการทดลอง	26
3.1	เครื่องมือที่ใช้ในการทดลอง	26
3.2	สารที่ใช้ในการทดลอง	29
3.3	วิธีการทดลอง	29
3.3.1	การวัดแรงตึงผิวของสารละลายสารชอบผิว	29
3.3.2	การวัดกำลังที่ใช้ในการหมุนใบพัดกวน	29
3.3.3	การวัดระดับความสูงของของเหลวในถังกวน	30
3.3.4	การวัดความเข้มข้นของออกซิเจนและอุณหภูมิของสารละลาย	30
3.3.5	ขั้นตอนในการทดลอง	30
4	ผลการทดลอง, การวิเคราะห์และวิจารณ์	33
4.1	การทดลองในน้ำที่ไม่มีสารชอบผิว	33
4.1.1	สัคส่วนก้าชค้าง	33
4.1.2	กำลังที่ใช้ในการกวน	36
4.1.3	สัมประสิทธิ์การถ่ายเทนวาลรวมต่อหน่วยบริมาตร	39
4.1.4	สัมประสิทธิ์การถ่ายเทนวาลในของเหลว	43

บทที่	หน้า
4.2 การทดลองในสารละลายสารซ้อมพิว 46	
4.2.1 ผลของสารซ้อมพิวต่อค่าสัมประสิทธิ์ 46	
4.2.2 ผลของสารซ้อมพิวต่อกำลังที่ใช้ในการกวน 53	
4.2.3 ผลของสารซ้อมพิวต่อสัมประสิทธิ์การถ่ายเท- มวลรวมต่อหน่วยปริมาตรและสัมประสิทธิ์การถ่ายเทมวล .. 53	
5 สูปพลและ เสนอแนะ 83	
เอกสารอ้างอิง 85	
ภาคผนวก 88	
ประวัติ 123	

รายการตารางประกอบ

ตารางที่		หน้า
3.1	สภาวะดื้าแปรค่าต่าง ๆ ที่ทำการทดลอง	32
4.1	แสดงค่า $H/(P/\rho V)^{0.47} \sqrt{S}^{0.36}$ ที่ภาวะการทดลองค่าง ๆ	51
4.2	แสดงค่า $K_L A / (P/V)^{0.46} \sqrt{S}^{0.62}$ ที่ภาวะการทดลองค่าง ๆ	63
4.3	แสดงค่าพื้นที่สัมผัสรีบค่านิวนิลได้จากการสมการที่ 2.22 ที่ภาวะการทดลองค่าง ๆ	66
4.4	แสดงค่าพื้นที่ผิวสัมผัสระหว่างก๊าซและของเหลวในสารละลายสารซับผิว หลังจากปรับค่าให้ใกล้เคียงกับค่าจากทฤษฎีที่ภาวะการทดลองค่าง ๆ	67
4.5	แสดงค่า K_{Lo}/K_S ในสารละลายสารซับผิวที่ภาวะการทดลองค่าง ๆ	71
4.6	แสดงค่า slope, intercept และ coefficient of determination จากการจัดแบบในรูปสมการ $K_{Lo}/K_S = \text{intercept} + \text{slope}(\frac{\Delta \phi}{\phi_0})^{0.95}$	72
4.7	แสดงค่า a'_o , b'_o ที่ได้จากการ $Y = a'_o \exp(b'_o N_{Ae})$	74
4.8	แสดงค่าความสัมพันธ์ระหว่าง K_{Lo} และ N_{Ae} ในรูปสมการ $K_{Lo} = a'_o + b'_o N_{Ae}$ ที่ค่า N_{Re} ค่าง ๆ	78

รายการรูปประกอบ

รูปที่		หน้า
2.1	แสดงการกระจายของพื้นที่ผิวสัมผัสตามแนวรัศมี (ก) และแนวตั้ง (ข)	
	ภายในถังกรานขนาด เส้นผ่าศูนย์กลาง 20 นิ้ว	4
2.2	แสดงลักษณะของถังกรานและใบพัดกราน	7
2.3	แสดงลักษณะใบพัดกรานชนิด 6-Flat blade turbine	9
2.4	แสดงรูปแบบการไหลของเหลวในถังกราน	10
2.5	แสดงความสัมพันธ์ระหว่าง Power number และ Reynold number สำหรับถังกรานมาตรฐาน	11
2.6	แสดงความสัมพันธ์ระหว่าง Power ratio และ Aeration number	13
2.7	แสดงความสัมพันธ์ระหว่าง DNL^P/μ และ $(K_L D/D_L)^{0.5} / (\mu/PD_L)$	18
2.8	แสดงความสัมพันธ์ระหว่างแรงดึงผิวและความ เนื้อข้นของสารละลายชนิดต่าง ๆ	19
2.9	แสดงความสัมพันธ์ระหว่าง standard chemical potential และระยะทาง	21
2.10	แสดงการจัดโภคภัยของสารซึ่งผิวที่ผิวสัมผัส (ก) gaseous surface film (ข) Condensed film	23
3.1	แสดงการจัดเครื่องมือในการทดลอง	27
3.2	แสดงเครื่องมือวัดระดับความสูงของเหลวในถังกราน	28
4.1	แสดงความสัมพันธ์ระหว่าง H และ $P/\rho V$ ที่อัตราการไหลของอากาศต่าง ๆ	34
4.2	แสดงความสัมพันธ์ระหว่าง H และ $(P/\rho V)^{0.47} V_S^{0.36}$	35
4.3	แสดงความสัมพันธ์ระหว่าง P และ Q ที่ความเร็วรอบของใบพัดกรานต่าง ๆ	37
4.4	แสดงความสัมพันธ์ระหว่าง P/P_0 และ Q/NL^3 ในน้ำ	38
4.5	แสดงความสัมพันธ์ระหว่าง $K_L A$ และ N ที่อัตราการไหลของอากาศต่าง ๆ	40
4.6	แสดงความสัมพันธ์ระหว่าง $K_L A$ และ Q ที่ความเร็วรอบของใบพัดกรานต่าง ๆ	40
4.7	แสดงความสัมพันธ์ระหว่าง $K_L A$ และ P ที่อัตราการไหลของอากาศต่าง ๆ	41
4.8	แสดงความสัมพันธ์ระหว่าง $K_L A$ และ $(P/V)^{0.46} V_S^{0.62}$	42

รูปที่		หน้า
4.9	แสดงการเปรียบเทียบค่า $K_L A$ จากผลการทดลองนี้กับผลการทดลองอื่น ๆ	44
4.10	แสดงความสัมพันธ์ระหว่าง $(K_L D/D_L) / (\mu/\rho D_L)^{0.5}$ และ $DNL\rho/\mu$	45
4.11	แสดงความสัมพันธ์ระหว่าง H และ $\Delta\phi$ ที่ v_S เท่ากับ 3.65×10^{-3} เมตรต่อวินาที และความเร็วรอบของใบพัดกรณ์ต่าง ๆ	47
4.12	แสดงความสัมพันธ์ระหว่าง H และ $\Delta\phi$ ที่ v_S เท่ากับ 7.80×10^{-3} เมตรต่อวินาที และความเร็วรอบของใบพัดกรณ์ต่าง ๆ	48
4.13	แสดงความสัมพันธ์ระหว่าง H และ $\Delta\phi$ ที่ v_S เท่ากับ 12.10×10^{-3} เมตรต่อวินาที และความเร็วรอบของใบพัดกรณ์ต่าง ๆ	49
4.14	แสดงความสัมพันธ์ระหว่าง H และ $\Delta\phi$ ที่ v_S เท่ากับ 16.25×10^{-3} เมตรต่อวินาที และความเร็วรอบของใบพัดกรณ์ต่าง ๆ	50
4.15	แสดงความสัมพันธ์ระหว่าง $H/(P/\rho V)^{0.47} v^{0.36}$ เฉลี่ย และ $\Delta\phi$	52
4.16	แสดงความสัมพันธ์ระหว่าง P และ $\Delta\phi$ ที่ v_S เท่ากับ 3.65×10^{-3} เมตรต่อวินาที และความเร็วรอบของใบพัดกรณ์ต่าง ๆ	54
4.17	แสดงความสัมพันธ์ระหว่าง P และ $\Delta\phi$ ที่ v_S เท่ากับ 7.80×10^{-3} เมตรต่อวินาที และความเร็วรอบของใบพัดกรณ์ต่าง ๆ	55
4.18	แสดงความสัมพันธ์ระหว่าง P และ $\Delta\phi$ ที่ v_S เท่ากับ 12.10×10^{-3} เมตรต่อวินาที และความเร็วรอบของใบพัดกรณ์ต่าง ๆ	56
4.19	แสดงความสัมพันธ์ระหว่าง P และ $\Delta\phi$ ที่ v_S เท่ากับ 16.25×10^{-3} เมตรต่อวินาที และความเร็วรอบของใบพัดกรณ์ต่าง ๆ	56
4.20	แสดงความสัมพันธ์ระหว่าง P/P_0 และ Q/Q_{NL}^3 ในสารละลาย <i>Cetylpyridinium chloride</i>	57

รูปที่		หน้า
4.21	แสดงความสัมพันธ์ระหว่าง $K_L A$ และ $\Delta\phi$ ที่ v_S เท่ากับ 3.65×10^{-3} เมตรต่อวินาที และความเร็วรอบของใบพัดกรณ์ต่าง ๆ	58
4.22	แสดงความสัมพันธ์ระหว่าง $K_L A$ และ $\Delta\phi$ ที่ v_S เท่ากับ 7.80×10^{-3} เมตรต่อวินาที และความเร็วรอบของใบพัดกรณ์ต่าง ๆ	59
4.23	แสดงความสัมพันธ์ระหว่าง $K_L A$ และ $\Delta\phi$ ที่ v_S เท่ากับ 12.10×10^{-3} เมตรต่อวินาที และความเร็วรอบของใบพัดกรณ์ต่าง ๆ	60
4.24	แสดงความสัมพันธ์ระหว่าง $K_L A$ และ $\Delta\phi$ ที่ v_S เท่ากับ 16.25×10^{-3} เมตรต่อวินาที และความเร็วรอบของใบพัดกรณ์ต่าง ๆ	61
4.25	แสดงความสัมพันธ์ระหว่าง $K_L A / (P/V)^{0.46} v_S^{0.62}$ เฉลี่ย และ $\Delta\phi$	64
4.26	แสดงความสัมพันธ์ระหว่าง $K_L A$ ที่ได้จากการทดลอง และ $K_L A$ ที่ได้จากสมการที่สร้างขึ้น	65
4.27	แสดงความสัมพันธ์ระหว่าง K_L และ $\Delta\phi$ ที่ v_S เท่ากับ 3.65×10^{-3} เมตรต่อวินาที และความเร็วรอบของใบพัดกรณ์ต่าง ๆ	68
4.28	แสดงความสัมพันธ์ระหว่าง K_L และ $\Delta\phi$ ที่ v_S เท่ากับ 7.80×10^{-3} เมตรต่อวินาที และความเร็วรอบของใบพัดกรณ์ต่าง ๆ	68
4.29	แสดงความสัมพันธ์ระหว่าง K_L และ $\Delta\phi$ ที่ v_S เท่ากับ 12.10×10^{-3} เมตรต่อวินาที และความเร็วรอบของใบพัดกรณ์ต่าง ๆ	69
4.30	แสดงความสัมพันธ์ระหว่าง K_L และ $\Delta\phi$ ที่ v_S เท่ากับ 16.25×10^{-3} เมตรต่อวินาที และความเร็วรอบของใบพัดกรณ์ต่าง ๆ	69
4.31	แสดงความสัมพันธ์ระหว่าง Y และ N_{Ae}	73
4.32	แสดงความสัมพันธ์ระหว่าง b'_o และ N_{Re}	75
4.33	แสดงความสัมพันธ์ระหว่าง a'_o และ N_{Re}	75

รูปที่		หน้า
4.34	แสดงความสัมพันธ์ระหว่าง K_{L_o} / K_S ที่ได้จากการทดลอง และ K_{L_o} / K_S ที่ได้จากการสมการที่สร้างขึ้น	77
4.35	แสดงความสัมพันธ์ระหว่าง a''_o และ N_{Re}	80
4.36	แสดงความสัมพันธ์ระหว่าง b''_o และ N_{Re}	80
4.37	แสดงความสัมพันธ์ระหว่าง K_{L_o} ที่ได้จากการทดลอง และ K_{L_o} ที่ได้จากการสมการที่สร้างขึ้น	81

